

ISSN 0543-5749

# МЕДАЛЮРГИЧЕСКАЯ И ГОРНОРУДНАЯ ПРОМЫШЛЕННОСТЬ

2  
1995

**В. П. Есаулов, Ю. Н. Таран, А. Т. Есаулов,  
А. В. Сладковский, Е. И. Шевченко**

Металлургическая академия Украины

**А. И. Козловский**

АП «Нижнеднепровский  
трубопрокатный завод им. К. Либкнехта»

## **Цельнокатаные железнодорожные колеса с саморазгружающимися дисками. Часть II\***

Излагаются теоретические, стендовые и поездные результаты испытания цельнокатанных железнодорожных колес с саморазгружающейся формой диска. Впервые показано влияние толщины обода и тепла торможения на напряженное состояние цельнокатанных железнодорожных колес различных конструкций. Эксплуатационные испытания, проведенные на Приднепровской железной дороге и на промышленном транспорте Михайловского горно-обогатительного комбината Курской магнитной аномалии, показали, что колесо новой конструкции по своим эксплуатационным и прочностным характеристикам значительно превосходит колеса конструкции Международного союза железных дорог, его можно отнести к лучшим мировым образцам. Ил. 1.

механика деформации тел, прокатка колес, опытно-конструкторские работы

Методика проведения испытаний цельнокатанных железнодорожных колес в эксплуатационных условиях. Испыта-

ниям подвергались три типа колес: ГОСТ, UIC и с саморазгружающимися дисками. Испытания колес проводились на перегоне Новомосковск-Днепровский — Павлоград Приднепровской железной дороги сначала при полном ободе, затем их перетачивали 3—5 раз в зависимости от конструкции колеса через каждые 20-мм толщины.

Экспериментальный состав формировался из электропоезда марки ЧС2, пассажирского вагона, грузового полувагона и тормозоиспытательного вагона вагонной службы Приднепровской железной дороги.

С опытными колесами под пассажирским вагоном использовались тележки КВЗ ЦНИИ, под грузовыми — тележки ЦНИИ-Х3-0. Измерительная и регистрирующая

\* Часть I опубликована в № 3, 1994 г.

аппаратура устанавливалась в тормозоиспытательном вагоне. Формирование колесных пар, установка их в тележки и подкатка под вагоны проводились в вагонном депо станции Днепропетровск.

При проведении эксперимента определялись следующие параметры: скорость движения, положение измерительного радиуса, деформация (напряжения) в диске, вертикальная и осевая силы. В процессе испытаний колесные пары поочередно устанавливались под пассажирский и грузовой полуваагоны в груженом и порожнем состоянии. Скорость движения при определении напряжений изменялась от 20 до 100 км/ч с интервалом, который был равен 20 км/ч.

Зависимость напряженного состояния колес от тепла торможения определялась для колес всех типов при скорости движения 50—60 км/ч в течение 25 мин, давление на колодку составляло 0,020 МН, что соответствует торможению на затяжном спуске с уклоном не менее 33%. Вертикальные и осевые силы, действующие на колесную пару, измерялись специальными мессизами, на которые наклеивались рабочие и компенсационные датчики.

В процессе проведения эксперимента контактным устройством систематически регистрировалось положение измерительного радиуса. Напряженное состояние дисков измерялось в пяти точках с внутренней и наружной сторон в радиальном и тангенциальном направлениях. Места наклейки датчиков определены в результате ранее проведенных аналитических расчетов и статических стендовых испытаний. Для снятия информации с вращающихся колес использовался двенадцатиканальный ртутный токосъемник. Все параметры регистрировались осциллографом К12-22. Осциллограммы, полученные в процессе проведения экспериментов, расшифровывались и обрабатывались с учетом тарировочных коэффициентов.

Во время испытаний с помощью тензодатчиков измерялись относительные деформации в радиальном  $\sigma_R$  и окружном  $\sigma_\theta$  направлениях. Затем были подсчитаны нормальные напряжения в двух направлениях диска по формулам плоского напряженного состояния. Полученные результаты статистически обрабатывались, и по ним строились графики напряженного состояния.

**Влияние толщины обода на напряженное состояние цельнокатанных железнодорожных колес различных конструкций.** Эксплуатационные исследования показали, что с уменьшением толщины обода напряжения в дисках колес увеличиваются: в колесе ГОСТ — в 1,2—1,7 раза, в колесе УИС — в 1,2—2,7 раза, в колесе с саморазгружающимся диском — в 1,2—1,5 раза.

В колесе ГОСТ  $\varnothing 860$  мм максимальные напряжения изменяются от 74 до —56,6 МПа, наиболее напряженной является внутренняя сторона колеса. В колесе УИС — соответственно от 51,6 до —72 МПа, возникают они с обеих сторон, следовательно, напряженными являются и внутренняя и наружная стороны колеса.

В саморазгружающемся колесе напряжения изменяются от 20 до —52 МПа, располагаются они на внутренней поверхности колеса, на наружной стороне 17,6 и —13 МПа.

На основании вышеизложенного можно сделать следующие выводы:

напряжения, возникающие в колесах с предельно пе-

роточенным ободом, увеличиваются в 2—3 раза;

максимальная величина напряжений, полученная в колесах при действии вертикальной и боковой нагрузок, не опасна для рассматриваемых колес.

**Влияние тепла торможения на напряженное состояние цельнокатанных железнодорожных колес различных конструкций.** Напряженное состояние дисков колес от

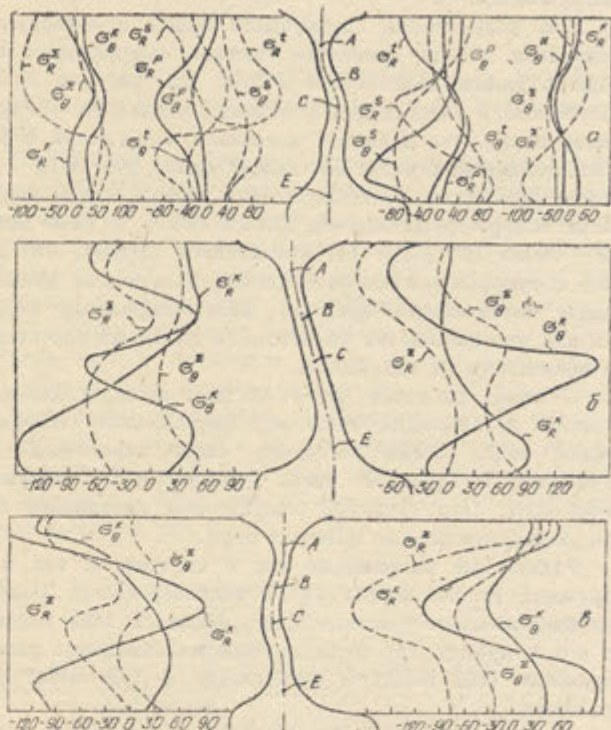


График изменения напряжений в диске колеса:  
а — саморазгружающееся; б — ГОСТ; в — УИС

тепла торможения определялось в тяговом режиме, при котором экспериментальный состав двигался со скоростью 60 км/ч с длительностью торможения от 2 до 26 мин, т. е. имитировался затяжной спуск с уклоном 33%, а полувагон тормозился чугунными тормозными колодками (с усилием 0,0196 МН на колесо). В фиксированные моменты времени — 2, 4, 8, 10, 15, 17, 19, 21, 23 и 26 мин были получены стабильные значения температур при идентичном пятнадцатикратном повторении параметров торможения, а следовательно, и величин напряжений. Указанное количество повторных замеров имеет относительно небольшой разброс (4—8%) результатов.

На рисунке представлены обобщенные графики напряженного состояния саморазгружающихся колес в радиальном  $\sigma_R$  и тангенциальном  $\sigma_\theta$  направлениях от вертикальных  $P=50$  тс, действующих в плоскости круга катания, боковых  $S=7,5$  тс и тепловых нагрузок, возникающих в процессе длительного торможения, а также приведены суммарные напряжения  $\sigma_R^\Sigma$ ,  $\sigma_\theta^\Sigma$ , возникающие в криволинейном диске от совместного действия всех вышеуказанных нагрузок. Последние  $\sigma_R^\Sigma$  и  $\sigma_\theta^\Sigma$  уточнены графиками напряжений  $\sigma_R^x$  и  $\sigma_\theta^x$  в период действия комплексных нагрузок в эксплуатационных условиях.

бж и бж получаются путем алгебраического суммирования составляющих напряжений и наглядно иллюстрируют их взаимную компенсацию по радиусу диска.

Из рассмотренного графика напряженного состояния дисков саморазгружающихся колес можно видеть, что в процессе длительного торможения грузового полувагона при предельной его загрузке 0,66 МН диски колес саморазгружаются.

Для иллюстрации преимуществ колес с саморазгружающимся диском приведены графики напряженного состояния дисков колес ГОСТ и UIC (см. рисунок, б, в), полученные в аналогичных условиях нагружения. Из графиков видно, что диапазон изменений напряжений в дисках стандартных колес составляет около 200 МПа, а в колесе UIC даже превосходит эту цифру, тогда как в диске саморазгружающегося колеса они в 2 раза меньше — около 100 МПа. Из изложенного следует, что колеса с саморазгружающимся диском практически решают задачу оптимального качества железнодорожных колес, так как при повышении безопасности движения значительно повышается их надежность.

С целью создания более жестких эксплуатационных условий, отражающих предельно напряженное состояние дисков колес, обода последних были переточены до Ø 860 мм, а грузовой вагон максимально загружен (0,66 МН). Под грузовым полувагоном находились все три экспериментальные колесные пары.

Радиальные напряжения как с внутренней, так и с наружной сторон колеса ГОСТ знакопеременны. Наиболее напряженным участком диска является зона перехода его в ступицу, где сосредоточены максимальные растягивающие (102 МПа) и сжимающие (-145 МПа) напряжения.

Характер кривых тангенциальных напряжений более сложен. Знак напряжений по длине диска у большинства кривых меняется 2 и 3 раза. Тангенциальные напряжения в основном растягивающие, а величина их превышает радиальные.

Высокие значения тангенциальных напряжений, сложный характер их распределения по длине диска с обеих сторон, резкий переход сжимающих напряжений в растягивающие в середине диска свидетельствуют о возникновении значительного изгибающего момента, приводящего к короблению диска в период действия тепловых нагрузок. Превышение растягивающих тангенциальных напряжений по сравнению с радиальными свидетельствует о сложном напряженном состоянии плоскоконического диска и, как следствие, его конструктивном несовершенстве.

Анализ напряженного состояния дисков колес UIC с толщиной обода 25 мм в период действия комплексной нагрузки позволяет сделать следующие выводы:

радиальные и тангенциальные напряжения знакопеременны;

наиболее напряженными участками являются переходные зоны диска к ободу, ступице и середине диска;

под влиянием тепла торможения напряжения в диске увеличиваются в 2,5 раза;

напряжения увеличиваются с увеличением длительности торможения, однако строгой закономерности не установлено;

кривизну и форму диска нельзя признать оптимальной, так как в середине диска возникают максимальные растягивающие напряжения.

Анализ напряженного состояния колеса с саморазгружающимся диском позволяет сделать такие выводы: под влиянием тепла торможения напряжения увеличиваются более чем в 1,5 раза;

строгой закономерности изменения величины напряжений от длительности торможения не установлено;

уменьшение величины напряжений в наиболее нагруженных участках диска с увеличением длительности торможения, т. е. саморазгружение при более тяжелых условиях работы, характеризует диск как перспективную и надежную конструкцию.

Сопоставительный анализ напряженного состояния трех типов колес показал, что под влиянием тепловых нагрузок, вызванных длительностью торможения до 26 мин, напряжения в колесе с саморазгружающимся диском увеличиваются в 1,5 раза, в колесе ГОСТ — в 2 раза, UIC — в 2,5 раза.

В колесе ГОСТ растягивающие тангенциальные напряжения по своей величине превышают радиальные, что свидетельствует о сложном напряженном состоянии плоскоконического диска и приводит к его короблению.

В колесе UIC самой напряженной зоной является середина диска, где сосредоточены максимальные напряжения, причем и радиальные и тангенциальные одного знака, что весьма нежелательно, поэтому кривизна диска колеса UIC далека от конструктивного совершенства.

Следует отметить, что максимальные напряжения в саморазгружающемся колесе (91 и 97 МПа) возникают при торможении длительностью 4 и 8 мин, а при более длительном торможении напряжения уменьшаются и при 25 мин составляют 52 и 55 МПа.

Уменьшение величины напряжений (почти в 1,5 раза) с увеличением длительности торможения характеризует способность диска саморазгружаться и является положительным эксплуатационным и конструктивным фактором.

Смещение средней продольной оси диска в противоположную от гребня сторону относительно середины ступицы обусловлено тем, что в колесе с плоскоконическим диском половина длины  $L$  посадочного места ступицы колеса на ось деформируется диском как калибровочным кольцом на величину натяга, а в саморазгружающемся колесе — меньше половины этой длины. Более того, напряжения в ступице с внешней стороны колеса являются растягивающими, что позволяет выбрать образовавшийся с этой стороны зазор между осью и ступицей. Таким образом, общая плотность посадки колеса на ось увеличивается не менее чем на 20%, т. е. уменьшается возможность сползания ступицы колеса с оси в период действия комплексной нагрузки.

Новая конструкция колеса по своим эксплуатационным и прочностным характеристикам даже при существующих геометрических размерах значительно превосходит колеса конструкции UIC, а наличие американского патента № 5.039.152 подтверждает его конкурентоспособность на мировом рынке и то, что оно относится к лучшим мировым образцам.

© В. П. Есаулов, Ю. Н. Таран, А. Т. Есаулов, А. В. Сладковский, Е. И. Шевченко, А. И. Козловский, 1995 г.

# Содержание

- Куликов Я. П. 50-летие Победы в Великой Отечественной войне . . . . .  
 Кущенко А. И. Никопольскому Южнотрубному — 60 лет . . . . .  
 Горлов Г. С. Технический прогресс на заводе . . . . .  
 Шибко А. П. В одном строю с заводским коллектиком . . . . .  
 Елисеев А. К. Южному горно-обогатительному комбинату — 40 лет . . . . .  
 Станков А. П. Ингулецкому государственному горно-обогатительному комбинату — 30 лет . . . . .  
 К 100-летию со дня рождения Арнольда Давидовича Готлиба . . . . .

## ДОМЕННОЕ И КОКСОХИМИЧЕСКОЕ ПРОИЗВОДСТВО

- Гиммельфарб А. А., Симонов А. О., Кирюхин О. В., Фока И. К. Исследование влияния состава и температуры восстановительного газа на интервал плавления агломерата . . . . .  
 Шатоха В. И. Выбор оптимального состава доменного шлака на основе моделирования химических и фазовых равновесий в системе чугун — шлак Зубилин И. Г., Юшко В. К. Расчет термодинамики процесса углекислотной конверсии летучих продуктов коксования . . . . .

## СТАЛЕПЛАВИЛЬНОЕ ПРОИЗВОДСТВО

- Харахулах В. С., Вихлевщук В. А., Шевченко А. Ф., Старов Р. В., Стороженко А. С., Черногрицкий В. М. Концепция организации ресурсосберегающего промышленного производства низкосернистых сталей на металлургических предприятиях Украины . . . . .  
 Зражевский А. Д., Резун В. Е., Охотский В. Б., Шибко А. В., Харахулах В. С., Матухно Г. Г., Маякин В. А. Освоение технологии дожигания монооксида углерода в рабочем пространстве конвертера . . . . .  
 Моисеева Л. А., Перков О. Н. О качестве металлопроката из непрерывнолитых заготовок . . . . .

## ЭЛЕКТРОМЕТАЛЛУРГИЧЕСКОЕ ПРОИЗВОДСТВО

- Гасик М. И., Иванов В. Г., Кравченко Н. А. Внепечное электровакуумное рафинирование жидкой стали . . . . .

## ПРОКАТНОЕ ПРОИЗВОДСТВО

- Левченко Л. Н., Ступка А. Г. К вопросу о производстве мелкосортной продукции в бунтах . . . . .  
 Кондратенко В. М., Поляков С. Н., Солосин А. М., Дмитриев Ю. В. Производство проката из многослойной стали . . . . .  
 Флоров В. К., Костыря В. Ю. Зерно austenита конструкционных сталей в литом и горячедеформированном состояниях . . . . .  
 Лунев В. В., Пирожкова В. П., Бурова Н. М., Чеботарь Л. К., Федьков В. А., Ивахненко Е. И. Причины и механизм износа литых деталей из хромоникелевых сталей . . . . .  
 Алимов В. И., Баирова И. Е., Яворская В. А., Запорожченко В. Ф. Влияние регламентируемой ковки в межкритическом интервале температур на структуру и свойства конструкционных сталей . . . . .

## ТРУБНОЕ ПРОИЗВОДСТВО

- Узлов И. Г., Моисеева Л. А., Тарасова В. А., Перков О. Н., Староселецкий М. И., Мирошниченко Н. Г. Преимущества производства железнодорожных колес и бандажей из непрерывнолитых заготовок . . . . .

1	Комаров А. Н., Корж А. П., Манько В. В., Мясоед А. Ф. Исследование прочностных возможностей экспандера для перевода на работу при повышенном давлении . . . . .	40
<b>МЕТИЗНОЕ ПРОИЗВОДСТВО</b>		
7	Бейлинова Л. А., Рожков А. Д., Ганина Л. К., Даниленко В. О., Левит Г. М., Гендлер Т. Р. Применение антакоррозионной обработки латунированной арматуры для автомобильных шин . . . . .	43
8	Коковихин Ю. И., Буравлев И. Б. Силовые условия волочения в монолитных и роликовых волоках . . . . .	46
<b>ГОРНОРУДНОЕ ПРОИЗВОДСТВО</b>		
11	Новожилов М. Г. Концепция эффективного использования новых техногенных ресурсов на открытых разработках месторождений . . . . .	48
12	Ефремов Э. И., Кратковский И. Л., Мартыненко В. П., Козак Л. Г., Бенько Н. П. Эффективные способы пылегазоподавления при массовых взрывах на карьере Полтавского горно-обогатительного комбината . . . . .	50
14	Булат А. Ф., Курносов С. А., Пидгайный Я. М. Нетрадиционная технология инъекционной обработки горного массива для управления его напряженным состоянием . . . . .	53
17	Петренко В. Д., Коновал В. Н. О возможности использования продуктов взрывного измельчения скальных пород в качестве строительных материалов . . . . .	54
<b>РЕМОНТЫ И ОБОРУДОВАНИЕ</b>		
19	Макаренко Е. О., Касимов А. М., Донченко Ю. Н. Пневмоклассификатор полифракционных кусковых материалов с наклонной подвижной решеткой . . . . .	56
22	Большаков В. И., Буцкун В. В. Определение параметров электромеханической системы привода . . . . .	58
24	Есаулов В. П., Таран Ю. Н., Есаулов А. Т., Сладковский А. В., Шевченко Е. И., Козловский А. И. Цельнокатанные железнодорожные колеса с саморазгружающимися дисками. Часть II . . . . .	60
26	Иоффе А. М., Гордненко А. В., Каретный З. П., Мельников А. В., Третьяков В. А., Барышев В. В. Модернизация систем охлаждения рабочих валков чистовой группы стана 2000 . . . . .	63
30	Зданевич В. А., Погребняк Р. П. Структура и рациональное проектирование привода станка модели 1Б502 для обработки железнодорожных колес . . . . .	64
<b>МЕТАЛЛУРГИЧЕСКАЯ ТЕПЛОТЕХНИКА И ЭНЕРГЕТИКА</b>		
28	Логинов В. И., Мусиенко К. А., Кобеза И. И., Беличенко В. И. Совмещенный процесс восстановительно-окислительной плавки металла . . . . .	67
30	Канаев В. В., Кобеза И. И., Бузоверя М. Т., Шулико С. Т., Цыганков Г. Т. Контроль распределения дутья по воздушным фирмам доменной печи . . . . .	69
<b>ЭКОНОМИКА И УПРАВЛЕНИЕ ПРОИЗВОДСТВОМ</b>		
32	Коринчук А. П., Пономаренко В. А., Клименко И. П. Мотивация труда в рыночной экономике . . . . .	71
35	Охотский В. Б. Технико-экономические тенденции в производстве стали . . . . .	73
<b>ЭКОЛОГИЯ И ОХРАНА ТРУДА</b>		
35	Теверовский Б. З., Демуш С. Г., Шелудько И. Б., Ткаченко Г. В. В вопросу моделирования процесса разделения аэрозоля высокотемпературными фильтрами из металлотканя (сетки) . . . . .	76
37	Полещук П. Н., Мастеровой Э. И., Шнейдерман Б. Б. Очистка сточных вод газоочисток доменных и ферросплавных печей от токсичных соединений . . . . .	77
	Вадим Ипполитович Баптизманский . . . . .	80
	Яков Павлович Куликов . . . . .	80